

СИБИРСКОЕ ОТДЕЛЕНИЕ АН СССР
ИНСТИТУТ ЯДЕРНОЙ ФИЗИКИ

53

В.С.Белкин

ОПТРОННЫЕ АНАЛОГОВЫЕ
РАЗВЯЗЫВАЮЩИЕ УСТРОЙСТВА

ПРЕПРИНТ 80-150



Новосибирск

ОПТРОННЫЕ АНАЛОГОВЫЕ РАЗВЯЗЫВАЮЩИЕ
УСТРОЙСТВА

В.С.Белкин

А Н Н О Т А Ц И Я

Рассматриваются требования к аналоговым развязывающим устройствам для измерений на физических установках. Приводятся две схемы оптронных развязывающих повторителей с напряжением разделения до 500 В и до 50 кВ и полосой частот до 1,3 мГц, обсуждаются условия их дальнейшего развития.

ОПТРОННЫЕ АНАЛОГОВЫЕ РАЗВЯЗЫВАЮЩИЕ УСТРОЙСТВА

В.С.Белкин

На физических установках зачастую требуются устройства аналоговой передачи сигнала постоянного тока без гальванической связи входа и выхода - аналоговые развязки (а.р.). В общем случае любая а.р. состоит из передающей и приемной частей (передатчика и приемника) и какого-либо негальванического канала связи.

Можно выделить две основные причины, требующие применения а.р. Первая - неравенство потенциалов в разных точках "земли" (корпуса) установки, относительно которой проводятся измерения. Например, на импульсных плазменных установках разность потенциалов "земли" достигает сотен вольт. Вторая - необходимость измерений и создания систем обратной связи в высокопотенциальных относительно земли цепях. Исходя из сказанного, можно выделить два класса а.р.: низковольтные с напряжением разделение до ~ 1 кВ (н.а.р.) и высоковольтные (в.а.р.).

Основными параметрами а.р. являются: напряжение разделения (V_p), помехоустойчивость (Π), верхняя граничная частота (f_B), динамический диапазон (D), термостабильность (T_c), точность (δ). Рассмотрим некоторые из них в применении к измерительным системам.

Определим Π , как способность а.р. к передаче измеряемого сигнала, когда между передатчиком и приемником действует переменное напряжение с максимальной скоростью нарастания dV_n/dt . Примем, что максимально допустимая помеха на выходе приемника равна максимальному измеряемому сигналу - это позволяет не связывать Π и D . Если физическая длина линии связи меньше $1/f_B$, то можно пользоваться понятием емкости C между передатчиком и входом приемника. При этом

$$\Pi = (dV_n/dt)_{\text{доп}} = U_{\text{смакс}}/C,$$

где $I_{смакс}$ - ток на входе приемника, создаваемый максимальным измеряемым сигналом.

Требования к f_b и Δ для каждой задачи, естественно, свои. Характерные значения для известных а.р. [1,2] составляют: $f_b = 0,1 \div 1 \text{ мГц}$, $\Delta = 60 \text{ град}^{\circ}$.

Если время измерения сравнимо или больше характерного времени термоухода нуля, последний не должен превышать заданной точности а.р. Однако, в широкой полосе частот такие измерения проводятся редко. Обычные величины длительности измеряемого сигнала не превышают долей секунды. В этом случае требования к T_c снижаются, поскольку измерение уровня нуля можно произвести до момента появления сигнала и учесть при обработке результатов. При таком режиме работы температурный уход нуля не должен лишь существенно снижать Δ .

При хорошей временной стабильности а.р. возможно уменьшение погрешности измерений, связанной с нелинейностью шкалы коэффициента передачи, путем калибровки шкалы.

Для установок ИЯФ СО АН (АМБАЛ, ПСП-2, АИ-150) приемлемыми параметрами в а.р. являются:

$$V_p \geq 200 \text{ кВ на воздухе}; \quad \Pi \geq 100 \text{ кВ/мкс}; \\ f_b \geq 1,5 \text{ мГц}; \quad T_c \leq 0,5 \text{ }^{\circ}\text{C}; \quad \delta \leq 1\%.$$

Следует выделить дополнительное требование к а.р. Число каналов, нуждающихся в применении а.р., например, на перечисленных установках ИЯФ превышает сотню. Отсюда следует необходимость в достаточно простых и недорогих устройствах.

Наиболее подходящими а.р. для изложенных выше целей на наш взгляд являются а.р. с оптическим каналом связи (оптронные а.р.) с модуляцией измеряемым сигналом амплитуды излучения светодиода в передатчике. Варианты а.р. с модуляцией излучения в канале связи подробно разобраны в обзоре [3]. Они обеспечивают эффективную развязку, но сложны по конструкциям и схемам.

Для оптронных а.р. выделение классов по напряжениям

развязки согласуется с существующей элементной базой. Н.а.р. могут быть выполнены на однокорпусных светофотодиодных оптронах [4], для в.а.р. оптроны собираются из светодиода, световода и фотодиода.

Наиболее удобной схемой линейной оптронной а.р. является конфигурация рис.1 с оптической отрицательной обратной связью, предложенная С.Я.Борисовым [5]. Линейная связь в этой схеме достигается применением одинаковых по параметрам оптронов или дифференциального оптрана с одним светодиодом и двумя фотодиодами.

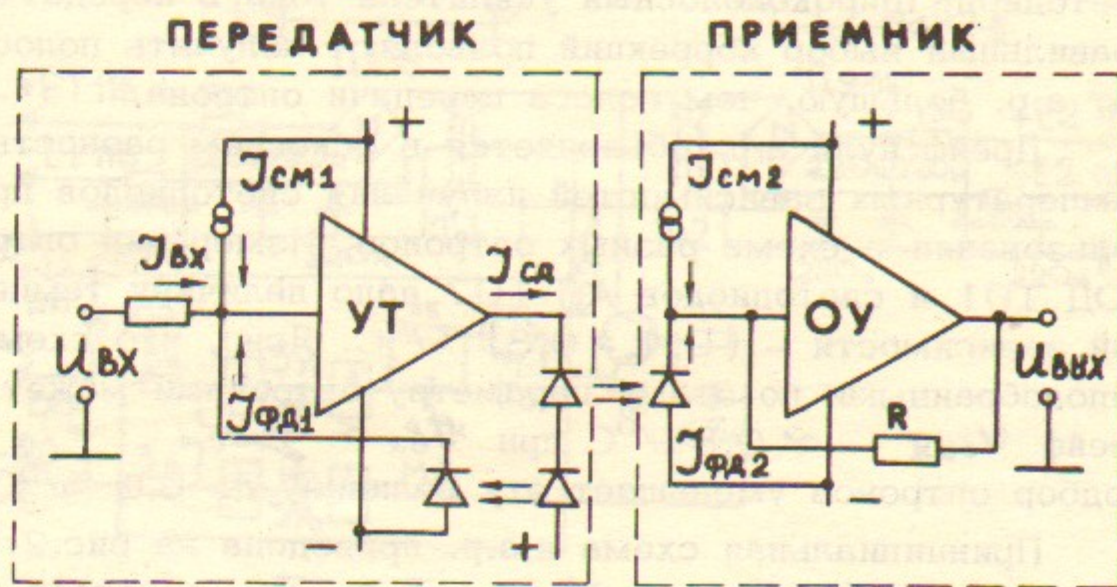


Рис.1.
УТ - усилитель тока, ОУ - операционный усилитель.

Разброс параметров оптронов в основном определяется светодиодами, поскольку их характеристики существенно нелинейны и термозависимы. В то же время фотодиоды обладают линейной зависимостью тока от светового потока, а их температурная зависимость проявляется в основном в изменении темнового тока, который для кремниевых фотодиодов весьма мал. Подробные сведения о характеристиках оптронов можно найти в монографии Ю.Р.Носова [6].

Из рис.1 ясно, что $U_{вых} = (\eta J_{ФД2} - J_{см2})R = (\eta J_{ФД1} - J_{см1})R$, где η - характери-

$$\text{зует неодинаковость оптронов. } \gamma_{\text{ФЗ1}} = \frac{1}{1 + 1/\text{КК}_{\text{св}}} (\gamma_{\text{бх}} + \gamma_{\text{см1}})$$

где К - коэффициент передачи по току усилителя передатчика, $\text{КК}_{\text{св}}$ - то же для оптрана.

$$U_{\text{вых}} = \left(\eta \frac{\gamma_{\text{бх}} + \gamma_{\text{см1}}}{1 + 1/\text{КК}_{\text{св}}} - \gamma_{\text{см2}} \right) R$$

При $\text{КК}_{\text{св}} > 1$ и $\eta = \text{const}$ $\gamma_{\text{бх}}$ и $\gamma_{\text{бх}}$ имеют линейную зависимость. Полоса частот схемы и ее устойчивость определяются постоянными временем оптрана и усилителя передатчика и запасом по усилению $\text{КК}_{\text{св}}$. Обычно наибольшую постоянную времени в оптране имеет светодиод. Широкополосный усилитель тока в передатчике и правильный выбор коррекций позволяют получать полосу частот а.р. большую, чем полоса передачи оптрана.

Дрейф нуля а.р. объясняется в основном разностью температурных зависимостей излучения светодиодов при использовании в схеме разных оптранов. Измерения оптранов АОД 101 и светодиодов АЛ 107 дало величину температурной зависимости $-(0,4 \pm 0,8) \%/{^\circ}\text{C}$. Ясно, что схема с неподобранными по этому параметру оптранами может иметь дрейф $\gamma_{\text{бых}} \sim 0,8 \%/{^\circ}\text{C}$ при $\gamma_{\text{бх}} \leq \frac{1}{2} \gamma_{\text{см}}$. Подбор оптранов уменьшает эту величину до $0,1 \%/{^\circ}\text{C}$.

Принципиальная схема н.а.р. приведена на рис.2. Преобразователь питания M_5 , T_2 , T_3 работает на частоте 3 мГц. Трансформаторы T_{p1} и T_{p2} намотаны на ферритовых кольцах 10x6x3, 2000 НМ, вторичная и первичная обмотки разделены фторопластовыми прокладками. Емкость между обмотками ~ 3 пФ.

Усилителем передатчика являются два первых каскада операционного усилителя 140 УД5 (M_1) и транзистор T_1 . В схеме используются оптраны АОД 101А, подобранные по температурному дрейфу $\text{КК}_{\text{св}}$.

При $\gamma_{\text{см}} = 200$ мкА, типичном значении $\text{КК}_{\text{св}} = 1 \div 2 \%$, запас схемы по усилению $\text{КК}_{\text{св}} > 100$. Выходной каскад M_1 (выводы 4 и 5) закорочен для уменьшения потребления тока.

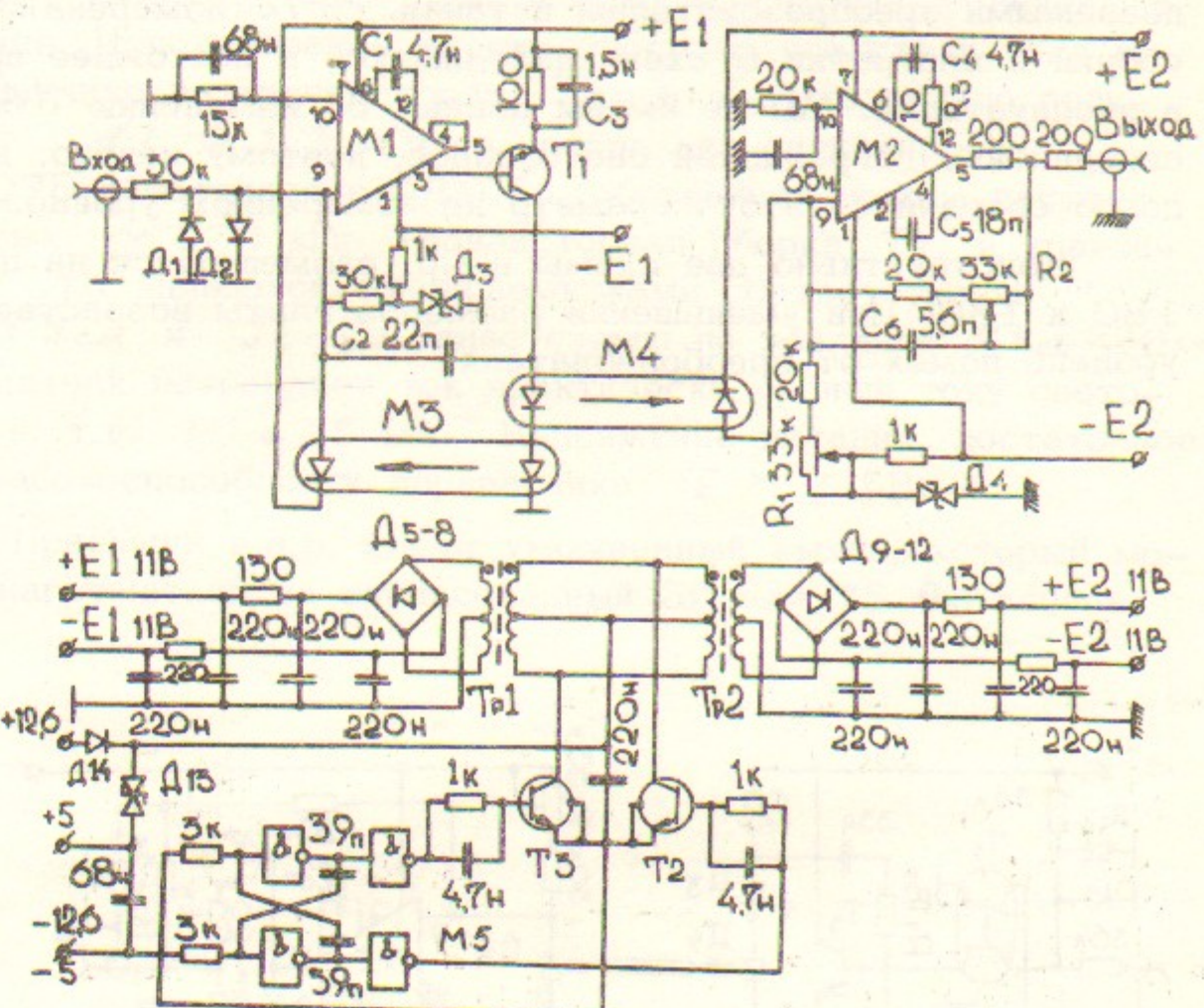


Рис.2.

Принципиальная схема н.а.р. M_1-2 - 140УД5А, M_3 - АОД101А, M_5 - 155ЛА3, T_1 - КТ347А, T_2-3 - КТ368, D_{1-2} , D_{5-12} - КД510, D_3 , D_4 , D_{13} - КС170, D_{14} - КД521.

Питание +5 используется для M_5 .

В приемнике подстроечное сопротивление R_1 служит для установки нуля, а R_2 - коэффициента передачи а.р., C_4 , C_5 , C_6 , R_3 - цепи коррекции. Основные параметры н.а.р. для схемы с АОД101А приведены в

таблице. Динамический диапазон определяется помехами, создаваемыми преобразователем питания. T_2 измерена после сборки и настройки 6 схем, находящихся в настоящее время в эксплуатации. Мы не имеем данных об изменении $\frac{dK_{\text{вых}}}{dT}$ связанной с деградацией светодиодов, поэтому неясно, как долго сохранится этот параметр на измеренном уровне.

Конструктивно две схемы н.а.р. размещаются на плате 180 x 180. При уменьшении размеров платы возрастает уровень помех от преобразователя.

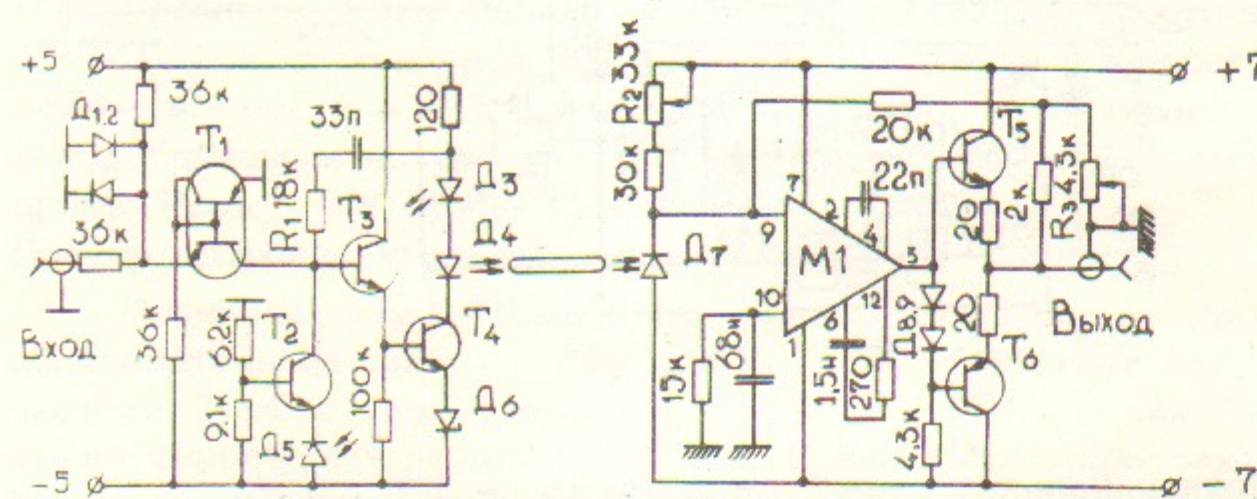
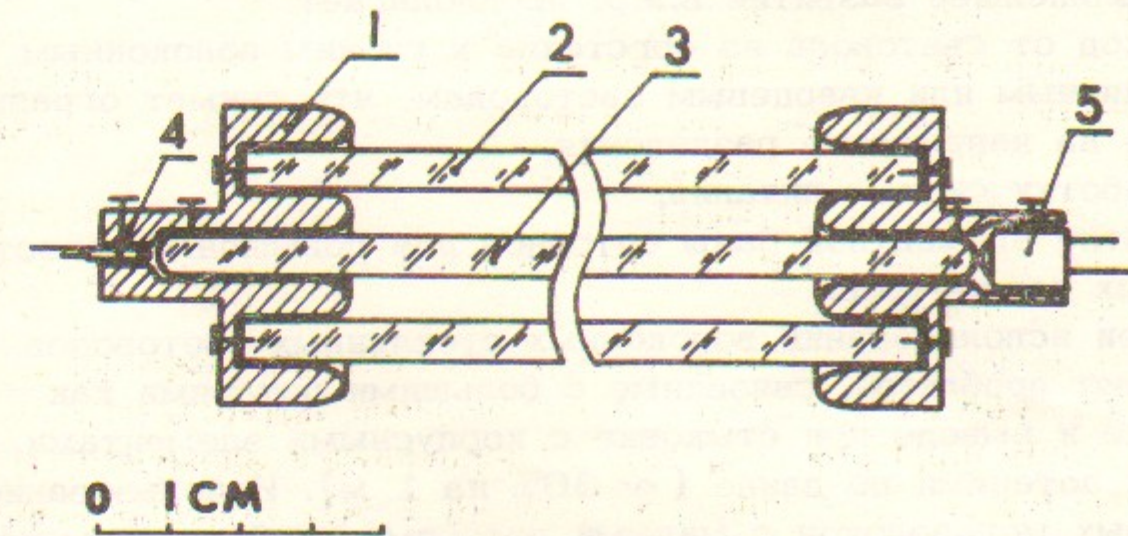


Рис.3.

Принципиальная схема в.а.р. T_1 - КТ3103А, T_2-4 - КТ368, T_5 - КТ315, T_6 - КТ361, M_1 - 140УД5А, D_{1-2} - КД524, D_{3-4} - АЛ107Б, D_5, D_7 - ФД-10Г, D_6 - КС119 А, D_{8-9} - КД512. Сопротивление R_1 подбирается при настройке. R_2 - установка нуля, R_3 - установка коэффициента передачи.

На рис.3 показана принципиальная схема в.а.р. с питанием от аккумуляторов. Полученные параметры приведены в таблице. Использование широкополосного усилителя тока в передатчике на транзисторах T_3 и T_4 позволило получить $f_b = 1,3$ мГц на оптрон из светодиодов АЛ107Б и фотодиодов ФД10Г, собственная полоса частот которых ~ 300 кГц. Транзисторная сборка T_1 и транзистор T_2 являются токоприемниками соответственно $Y_{\text{вх}} + Y_{\text{см}}$ и Y_{ϕ} . Запас схемы по усилению $K_{\text{вых}} > 20$. Передатчик потребляет ток практически равный току светодиодов, т.е. 10 ± 15 мА. Напряжение питания, достаточное для работоспособности передатчика $E \geq \pm 5$ В.

Приемник в.а.р. имеет умноженный выход, который может нагружаться на согласованный 50 или 75 Ом кабель.



0 1CM

Рис.4.
1. Стыковочная камера, дюраль. 2. Соединительная труба, капролон. 3. Световод, оргстекло. 4. Светодиод АЛ107Б. 5. Фотодиод ФД10Г.

Конструктивно в.а.р. выполнена в виде двух блоков размерами 130x85x45, соединенных трубой из капролона, внутри которой соосно расположен световод из оргстекла. В блоках размещены схемы и аккумуляторы питания. Стыковочные узлы оптрана показаны на рис.4. Металлическая стыковочная камера с отражающими внутренними стенками увеличивает захват излучения (примерно вдвое по сравнению с аналогичной неметаллической камерой). Одновременно стыковочная камера служит высоковольтной заделкой световода и соединительной трубы. Для используемой пары АЛ107 и ФД10Г оптимальным является световод диаметром 4,6 мм с выточенными на концах линзами радиусом соответственно 2,5-4 мм. Поглощение излучения в оргстекле по нашим измерениям составляет 30-70% на длине 140 мм и зависит от сорта оргстекла и слабо от качества полировки поверхности световода. Типичная величина K_{cb} для такого оптрана $\sim 1\%$. Световоды для в.а.р. подбираются одинаковыми с точностью 20% по мощности излучения на токе 10 мА. Измерение 20 пар оптранов АЛ107 - ФД10Г со светодиодами из разных партий показывают, что нелинейность коэффициента передачи в.а.р. при таком подборе не превышает $\pm 4\%$ для $|U_{bx}| < \frac{1}{2} U_{cm}$.

Дальнейшее развитие в.а.р. предполагает:

- переход от световода из оргстекла к гибким волоконным стеклянным или кварцевым световодам, что снимет ограничение на напряжение разделения;
- разработку систем питания;
- развитие элементной базы оптранов для повышения качественных параметров.

При использовании волоконных стеклянных световодов возникают проблемы, связанные с большими потерями как на вводе и выводе при стыковке с корпусными элементами, так и с потерями по длине ($\sim 30\%$ на 1 м). Использование кварцевых моноволокон с малыми потерями требует применения бескорпусных элементов и специальной технологии стыковки для достижения приемлемого ввода излучения [7]. Поскольку смысл перехода на кварцевое моноволокно - в практически неограниченной длине линии, связи, необходимо развитие технологий разъемов для моноволокна.

Развитие систем питания может заключаться с одной стороны в применении солнечных батарей, с другой - в повышении экономичности схем, использовании импульсного питания там, где это возможно.

Для повышения качественных параметров в.а.р. необходимо создание специализированного быстрого дифференциального оптрана с выводом излучения в световод. Подбор одинаковых по параметрам оптронных пар не решает эту задачу вследствие существенной деградации светодиодов, из-за которой со временем параметры подобранных пар расходятся.

Рабочая полоса частот в.а.р. в настоящее время ограничена параметрами оптронов. Если бы передаточная функция оптрана имела только одну постоянную времени T , то применение схем передатчиков с оптронной обратной связью в принципе позволило бы получить $f^2 \sim K_{cb} \cdot \frac{1}{2T}$. Поэтому при разработке новых оптранов на наш взгляд следует стремиться к максимальному разносу постоянных времени свето и фотодиодов.

Автор признателен А.М.Батракову за полезные обсуждения работы.

Параметры аналоговых оптронных повторителей.

№	Параметр	н.а.р.	в.а.р.
1	Напряжение разделения кВ		
	постоянное	0,1	50
	импульсное	0,5	50
2	Помехоустойчивость, кВ/мкс	1,0	100
3	Полоса частот по уровню 0,7, мГц	1,0	1,3
4	Фронт и спад для сигнала ± 2 В мкс	0,5	0,4
5	Динамический диапазон дБ	50	60
6	Термостабильность нуля мВ/°С	4	30
7	Нелинейность в диапа- зоне ± 3 В, %	± 4	± 4
8	Диапазон входных и выходных напряжений В	± 5	± 4
9	Допустимая перегру- зка по входу, В , постоянная импульсная	50 200	150 500

Л и т е р а т у р а

1. Гэй, Иддингс. Широкополосный изолирующий усилитель постоянного тока с оптической развязкой. Приборы для научных исследований. 1979, № 7, с.128.
2. В.С.Белкин. Трансформаторная развязка для высоковольтных цепей. ПТЭ, 1979, № 4, с.178.
3. Р.Э.Хебнер и др. Оптические методы измерения электрических параметров при высоких напряжениях. ТИИЭР, 1977, № 11, с. 5.
4. Ю.Р.Носов, А.С.Сидоров. Оптронные микросхемы: классификация, области применения, перспективы развития. ЭТВА/Под ред. Ю.Н.Конева - М. "Сов.радио", 1978, вып. 10, с.206.
5. С.Я.Борисов. Устройство гальванического разделения канала связи постоянного тока на базе оптрана. ЭТВА/Под ред. Ю.Н.Конева - М. "Сов.радио" 1972, вып. 2, с.40.
6. Ю.Р.Носов. Оптоэлектроника - М. "Сов.радио" 1977.
7. Миллер, Тинг Ли, Маркатили. Исследование световодных систем связи. ТИИЭР, 1973, № 12, с.46.